

การหาโครงสร้างของผลึก $Ta_5Ni_4P_4$ โดยการเลี้ยวเบนรังสีเอ็กซ์



นายมนัส มงคลธุช

002366

วิทยานิพนธ์นี้เป็นส่วนหนึ่งของการศึกษาตามหลักสูตรปริญญาวิทยาศาสตรมหาบัณฑิต
ภาควิชาพิลิปส์

บัณฑิตวิทยาลัย จุฬาลงกรณ์มหาวิทยาลัย

พ.ศ.2523

STRUCTURE DETERMINATION OF $Ta_5Ni_4P_4$ BY X-RAY DIFFRACTION

Mr Manus Mongkolsuk

A Thesis Submitted in Partial Fulfillment of the Requirements
for the Degree of Master of Science

Department of Physics

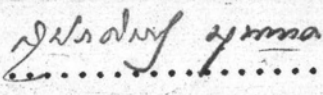
Graduate School

Chulalongkorn University

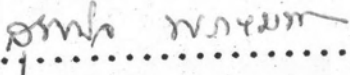
1980

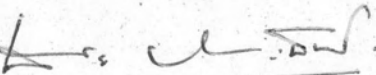
หัวข้อวิทยานิพนธ์ การหาโครงสร้างของผลิต $Ta_5Ni_4P_4$ โดยการเลี้ยวเบนรังสีเอกซ์
โดย นายมนัส มงคลสุข
ภาควิชา พลิกส์
อาจารย์ที่ปรึกษา ผู้ช่วยศาสตราจารย์ ดร.พัฒนา ภะนันท์

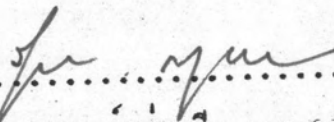
บัณฑิตวิทยาลัย จุฬาลงกรณ์มหาวิทยาลัย อนุมัติให้นับวิทยานิพนธ์ฉบับนี้เป็นส่วนหนึ่ง
ของการศึกษาตามหลักสูตรปริญญามหาบัณฑิต

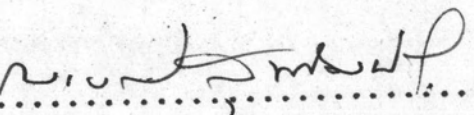

..... คณบดีบัณฑิตวิทยาลัย
(รองศาสตราจารย์ ดร.สุประดิษฐ์ ชิตนาคร)

คณะกรรมการสอบวิทยานิพนธ์


..... ประธานกรรมการ
(รองศาสตราจารย์ สุพนิช พราหมทัศ)


..... กรรมการ
(ผู้ช่วยศาสตราจารย์ ดร.พัฒนา ภะนันท์)


..... กรรมการ
(อาจารย์ รุ่งศรี กฤตยาภิรักษ์)


..... กรรมการ
(นายณรงค์ สุขพัฒน์)

ลิขิตรหัสของบัณฑิตวิทยาลัย จุฬาลงกรณ์มหาวิทยาลัย

หัวขอวิทยานิพนธ์	การหาโครงสร้างของผลึก $Ta_5Ni_4P_4$ โดยการเลี้ยวเบนรังสีเอกซ์
ชื่อนิสิต	นายมานัส มงคลสุข
อาจารย์ที่ปรึกษา	ผู้ช่วยศาสตราจารย์ ดร. พัฒนา ภะนันท์
ภาควิชา	พิลิคส์
ปีการศึกษา	2522



บทคัดย่อ

ผลึกเกี้ยว $Ta_5Ni_4P_4$ เป็นโลหะที่มีลักษณะเป็นแผ่นแบนบาง ไม่สม่ำเสมออยู่ในระบบเทหะกอนเนิด มีหมู่สัมมานครสามมิลิเมตรเป็น $14/\mu$ เพอร์แอมเมเตอร์อย่างละเอียกในหนึ่งหน่วยเซลล์ ได้จากการเทคนิคการเลี้ยวเบนแบบกีเนียร์-เอกซ์ของผลึกผง ให้ค่าเป็น $a = 9.870(8)$ และ $c = 3.508(3) \text{ \AA}$ บันทึกความเข้มการเลี้ยวเบนรังสีเอกซ์ของ Mo ชนิด K_{α} ที่ เลี้ยวเบนจาก ระนาบอิสระ 271 ระนาบของผลึกเกี้ยวลงบนฟิล์มทามวิธีการไว้ซึ่งเข็นเบิร์ก และวัดลัมพ์ที่กับความเข้มมากกว่าที่เกรวี่ยมขึ้น

โครงสร้างของผลึก $Ta_5Ni_4P_4$ หาโดยวิธีอะคอมพักพมว่ามีโครงสร้างแบบ เกี้ยว กับ ผลึก $Nb_5Cu_4Si_4$ ในหนึ่งหน่วยเซลล์จะมี $Ta_5Ni_4P_4$ อยู่ 2 หน่วยสูตร และ อะคอมทั้งหมดจะจัดตัวอยู่ในทำแท่นพิเศษโดย 2 Ta อยู่ที่ทำแท่น 2 b และที่เหลืออยู่ที่ทำแท่น 8 b ทางๆ สัมประสิทธิ์การถูกกลืนสำหรับรังสีที่ใช้มีค่าเป็น 885.1 cm^{-1} ซึ่งเป็นสาเหตุ สำคัญของความผิดพลาดที่เกิดขึ้นอย่างมีระบบ และ ໄก์แก๊กใช้ค่ายการคิดคำนวณจากแบบผลึก จำลองที่มีขนาดและรูปร่างใกล้เคียงมากที่สุดกับผลึกที่ใช้ซึ่งมีรูปร่างไม่สม่ำเสมอ แบบผลึก จำลองสร้างจากระนาบมิลเลอร์ที่ได้จากการพิจารณาทางเรขาคณิตของการเลี้ยวเบนที่เกิด ขึ้น การปรับโครงสร้างได้ค่า $R = 0.0984$ ในที่สุด

อะคอมทั้งหมดกินหน่วยเซลล์ของผลึก $Ta_5Ni_4P_4$ จะจัดตัวในระนาบร่างแท้ที่ข้าน กันมี $z = 0$ หรือ $1/2$ เท่านั้น ร่างแท้เป็นแบบ 3-, 4-, และ 5-คอมเน็คท์ ผสมกันเมื่อ ก่อนหน้าที่ความยาวอนุกรมที่สุกเป็น 3.275 \AA อะคอม $Ta(I), Ta(II), Ni$ และ P จะเชื่อมกับอะคอมตัวอื่น 5, 4, 4 และ 3 ตัวในระนาบร่างแท้เกี่ยวกันตามลำดับ

Thesis Title Structure Determination of $Ta_5Ni_4P_4$ by X-Ray Diffraction
Name Mr Manus Mongkolsuk
Thesis Advisor Assistant Professor Phathana Phavanantha, Ph.D.
Department Physics
Academic Year 1979

ABSTRACT

$Ta_5Ni_4P_4$ exhibits irregular metallic laminar single crystals, and belongs to the tetragonal space group I4/m. The unitcell parameters were obtained from powdered sample by Guinier-Hägg diffraction technique and refined to $a = 9.870(8)$, and $c = 3.508(3) \text{ \AA}$. 271 independent reflections were recorded photographically by the Weissenberg method using Mo K α radiation, and the intensities measured visually.

$Ta_5Ni_4P_4$ was found by the heavy atom method to be isostructural with $Nb_5Cu_4Si_4$. There are 2 formular units of $Ta_5Ni_4P_4$ per unitcell, and all atoms occupy special positions -2Ta's at 2b, and the rest at 8h. The absorption coefficient of 885.1 cm^{-1} for the radiation used is a major source of systematic errors, and was corrected for by approximating the irregular-shaped crystal to a model constructed from Miller planes established by geometrical consideration of the diffraction obtained. The refinement was concluded at $R = 0.0984$.

The structure of $Ta_5Ni_4P_4$ can be viewed as sets of atoms to be found only on parallel planes at $z = 0$ and $1/2$ with an arrangement of mixed 3-, 4- and 5-connected plane nets of a maximum connecting distance of 3.275 \AA . Ta(I), Ta(II), Ni and P atoms are connected to 5, 4, 4 and 3 neighbouring atoms in the same planar net respectively.

กิติกรรมประกาศ

วิทยานิพนธ์นี้สำเร็จลงให้คุณความกุศลของ พศ.คร.พัฒนา ภะนันท์ ซึ่งเป็น
อาจารย์ที่ปรึกษาที่ให้กุศลให้คำแนะนำช่วยเหลือ และควบคุมการวิจัยอย่างใกล้ชิดคุยดี
ตลอดมา จึงขอกราบขอบพระคุณไว้ ณ ที่นี่

ผู้เขียนขอกราบขอบพระคุณ รศ.สุพนิจ พราหมณ์ พศ.คร.ศรีนวล ถนนฤทธิ์
ที่กุศลให้คำแนะนำช่วยเหลือเกี่ยวกับการวิจัยครั้งนี้ ขอกราบขอบพระคุณ ดร.รอฟ เบอร์เกอร์
แห่งสถาบันเคมี มหาวิทยาลัยอุพชลา ประเทศสวีเดน ที่กุศลให้ผลลัพธ์ของสารประกอบชิ้นใช้
ในการวิจัยครั้งนี้ ขอกราบขอบพระคุณ พจ.ยุนค์คิวส์ และ พจ.ลิมิงก้า แห่งสถาบันเคมี
มหาวิทยาลัยอุพชลา ประเทศสวีเดน ที่กุศลให้โปรแกรมคอมพิวเตอร์ที่ใช้ในการวิจัยครั้งนี้
ขอกราบขอบพระคุณ พศ.สมชาย ทധานยง ที่กุศลให้ใช้เครื่องคอมพิวเตอร์ ณ ศูนย์บริการ
คอมพิวเตอร์ จุฬาลงกรณ์มหาวิทยาลัย

นอกจากนี้ผู้เขียนขอขอบคุณเจ้าหน้าที่ของศูนย์บริการคอมพิวเตอร์ จุฬาลงกรณ์มหา
วิทยาลัย ที่ให้กุศลให้คำแนะนำช่วยเหลือเกี่ยวกับการจัดเตรียมโปรแกรมการคำนวณ

อีก ในการระหว่างการศึกษา ผู้เขียนได้รับทุนการศึกษาจากโครงการพัฒนามหาวิทยาลัย
จึงขอขอบคุณที่โครงการฯ ไว้ ณ ที่นี่ด้วย

สารบัญ

หน้า

บทคัดย่อ	๙
กิจกรรมประจำ	๑
รายการตารางประจำ	๒
รายการญูปประจำ	๓
บทที่	
1. บทนำ	๑
2. การคำนวณแก้การถูกกลืนรังสีເອົ້າສໍາຫັນພລິກຢູ່ປ່ຽນທ້ວໄປ	๕
2.1 ຢູ່ແບນທ້ວໄປຂອງແພັກເຫຼວກພາກພະຍາກດີ	๕
2.2 ກາຣຄໍານວນແພັກເຫຼວກພາກພະຍາກດີເນື້ອຕິພລິກຢູ່ປ່ຽນທ້ວໄປ	๘
2.3 ຂັ້ນຄອນກາຣຄໍານວນແພັກເຫຼວກພາກພະຍາກດີ	๑๔
3. ກາຣກໍາທັນຄົນມີລເລອ່ຽນຂອງຜົວໜ້າແລະແກນຂອງພລິກຈ່າລອງ	๑๖
3.1 ກາຣກໍາທັນແກນຂອງພລິກຈ່າລອງທີ່ສອຄຄົວກັບພລິກຈິງ	๑๖
3.1.1 ກາຣສ້າງພລິກຈ່າລອງ	๑๖
3.1.2 ກາຣກໍາທັນແກນ	๑๘
3.2 ກາຣກໍາທັນຄົນມີລເລອ່ຽນຂອງຜົວໜ້າຂອງພລິກຈ່າລອງ	๒๑
4. ເອົ້າທິງຄົນ ປຽນຢູ່ນີ້ແລະຖຸຍິງຢູ່ນີ້	๒๖
4.1 ເອົ້າທິງຄົນ ປຽນຢູ່ນີ້	๒๗
4.1.1 ທຸກໆຢູ່ເພີ້ມເນີລໂຫນ	๒๘
4.1.2 ອຳພັນທີ່ສະຫຼອນໄຄຍຮະນາບະຄອນ	๓๕
4.1.3 ກາຣເລີຍເບີນຂອງຮັງສີເອົ້າຈາກພລິກສົມນູຽໝ	๓๙
4.1.4 ມັດທີເພີ້ມ ວິເພັກຄົນ ຈາກພລິກສົມນູຽໝ	๔๔
4.2 ເອົ້າທິງຄົນ ບຸກຍິງຢູ່ນີ້	๕๐
5. ກາຣທົລອງແລະກາຣຄໍານວນໂກຮງສ້າງພລິກ	๕๘
5.1 ຂໍ້ມູນຄົມພລິກທ້ວໄປ	๕๘

หน้า

5.1.1 การปรับแกนหมุนของผลึกแบบให้อาร์ค่ามุม 45 องศา กับ ล่าร์จลีเอ็กซ์ ...	59
5.1.2 ภาพถ่ายօอสซิลเลชัน ...	64
5.1.3 ภาพถ่ายแบบไวซ์เซ็นเบิร์ก ...	66
5.1.4 ค่ามิคิเซลล์อย่างละเอียด ...	70
5.1.5 หมู่สมมาตรสามมิติ ...	73
5.2 การคำนวณโครงสร้างผลึก ...	78
5.2.1 การรวมข้อมูลความเข้ม ...	78
5.2.2 การเตรียมคำนวณแก้การถูกกลืนรังลีเอ็กซ์ ...	81
5.2.3 การหาคำแนะนำของคอมโทคอมโดยใช้ฟังก์ชันแพทเทอร์สัน ...	85
5.2.4 การหาคำแนะนำของคอมโทคอมโดยคำนวณแผนภาพความหนาแน่น อิเล็กตรอน ...	91
5.3 การปรับโครงสร้าง ...	95
5.3.1 การปรับโดยวิธีการของนูช ...	95
5.3.2 การปรับโดยวิธีกำลังสองน้อยที่สุด ...	97
5.3.3 การคำนวณเพื่อตรวจสอบโครงสร้างผลึก ...	105
6. สูญเสียและอภิปรายผล ...	107
เอกสารอ้างอิง	127
ประวัติผู้เขียน ...	130

รายการตารางประกอบ

การ郎	หนา
1-1 มิกเซลล์ของ $Ta_5Ni_4P_4$ ที่หาโดย Rolf Berger	1
4-1 แสดงค่าแฟคเตอร์แก้ ($\tanh pq$)/ pq สำหรับอีกชั้นปฐมภูมิของรังสีอีกชั้นประเกท $h00$ ที่เลี้ยวบนจากผลึกของ $NaCl$	49
5-1 แสดงข้อมูลผลึกทั่วไปในชั้นตนของ $Ta_5Ni_4P_4$	58
5-2 แสดงค่าเพอร์แมนนิทอร์ทางแกน c จากภาพถ่ายของสิบเลเซินรวมแกน c ตามรูป 5-4	65
5-3 แสดงค่ามุมที่ห้องเจียงกล่อง (μ_n) และระยะที่ห้องเลื่อนตัวกันเส้นเดียวเรือร (s_n) เพื่อการถ่ายภาพไวซ์เซ็นเบิร์กสำหรับเลย์เรอร์สูงๆ เมื่อบล็อกหมุนรอบแกน c และใช้รังสีอีกชั้นของ Mo ชนิด $K\alpha$	69
5-4 แสดงค่าเพอร์แมนนิทอร์ตามแกน a และ b ซึ่งเท่ากันคำนวณจากการถ่ายไวซ์เซ็นเบิร์กตามรูป 5-5(ก)	69
5-5 ข้อมูลการเลี้ยวบนของ $Ta_5Ni_4P_4$ จากภาพถ่ายผลึกผง	71-73
5-6 เงื่อนไขในการพนักศะห้อนที่ปราฏในระนาบแลบทิสส่วนกลับ	77
5-7 แสดงค่านิมิตเดอร์ของระนาบที่ล้อมรอบผลึกจำลองและระยะระหว่างระนาบกับจุดกำเนิด 0	83
5-8 แสดงค่านิมิตเดอร์ของระนาบที่ล้อมรอบผลึกจำลองใหม่และระยะจากทุกระนาบถึงจุดกำเนิด 0	84
5-9 แสดงเวลาท่อร์ยาร์คเกอร์ที่คำนวณพิเศษ 8h ของหมู่สัมนาครสานนิที I_4/m	87
5-10 แสดงเวลาท่อร์ยาร์คเกอร์ 2 พวกรหัสสูตรคล่องกับ (0.06, 0.32, 0) และค่า x, y ในแต่ละพวง	90
5-11 แสดงໂຄອර์คเเนดแฟร์คชันลัดของอะตอม Ta(I) (หมายถึงอะตอม Ta ซึ่งทึบแสง) หังหมก 8 อะตอมที่ได้จากแผนภาพแพทเทอร์สัน	90

ตาราง

หน้า

5-12	แสดงโคลอร์คิเนตแฟร์คชันลัดของอะกอน Ni และ P ที่ค่าน้ำ份ได้ จากแผนภาพความหนาแน่นอิเล็กตรอน	91
5-13	แสดงค่าโคลอร์คิเนตแฟร์คชันลัดของอะกอนทุกตัวของ $Ta_5Ni_4P_4$ ก่อนและหลังการปรับค่าอิเล็กตรอนของนูช	96
5-14	แสดงค่าโคลอร์คิเนตแฟร์คชันลัดของอะกอนทุกตัวของ $Ta_5Ni_4P_4$ หลังจากปรับโดยอิเล็กตรอนของนูชจากแผนภาพความหนาแน่นอิเล็กตรอน ครั้งที่ 2	96
5-15	แสดงค่าเพอร์แรมิเทอร์ทางๆๆๆ ก่อ โคลอร์คิเนตแฟร์คชันลัด x, y, z แฟคเตอร์อุณหภูมิ และค่าเบี่ยงเบนมาตรฐานของอะกอน ทุกตัวหลังจากการปรับในขั้นที่ 3 จบลง	100
5-16	แสดงค่าแฟคเตอร์สเกล และค่านิความเชื่อมั่นหลังจากการปรับ ในขั้นที่ 3	100
5-17	แสดงค่าเพอร์แรมิเทอร์หลังจากลีนส์สุกการปรับขั้นสุกท้าย ...	102
5-18	แสดงค่าแฟคเตอร์สเกล ค่านิความเชื่อมั่น สัมประสิทธิ์อิเกชิ่งคชัน และค่าเบี่ยงเบนมาตรฐานของ g คือ (g) หลังจากการปรับขั้น สุกท้าย ...	102
5-19	แสดงค่า $ F_{0l} _{hkl}$ และ $ F_{cl} _{hkl}$ หลังจากการปรับโครงสร้าง ผลึกจบลง ...	102-105
6-1	แสดงข้อมูลผลึกทั่วไปของ $Ta_5Ni_4P_4$...	107
6-2	แสดงโคลอร์คิเนตแฟร์คชันลัดของอะกอน Ta(I), Ta(II), Ni และ P ภายในหนึ่งหน่วยเซลล์ของผลึก $Ta_5Ni_4P_4$...	108
6-3	ความยาวอนุระหว่างอะกอน Ta(I) กับอะกอนชั่งเคียงห้อง เมื่อกำหนดให้ความยาวอนุกมาสที่สุกเป็น 3.508 \AA ...	111
6-4	แสดงค่ามุนระหว่างอะกอนชั่งเคียงห้องที่ล้อมรอบอะกอน Ta(I) ตามรูป 6-2 ...	112-114

หน้า

ตาราง

6-5	ทดสอบความยาวอนค์ระหัวงอะกอม Ta(II) กับอะกอมชั่งเคียงทึ้งหนกเมื่อกำหนกให้ความยาวอนค์ที่มากที่สุดเป็น 3.508 \AA ...	115
6-6	ทดสอบความมรระหว่างอะกอมชั่งเคียงทึ้งหนกเมื่อกำหนกให้ความยาวอนค์ที่มากที่สุดเป็น 3.508 \AA ...	116-117
6-7	ทดสอบความยาวอนค์ระหัวงอะกอม Ni กับอะกอมชั่งเคียงทึ้งหนก 15 ตัวเมื่อกำหนกให้ความยาวอนค์ที่มากที่สุดเป็น 3.508 \AA ...	119
6-8	ทดสอบความมรระหว่างอะกอมชั่งเคียงทึ้งหนกเมื่อกำหนกให้ความยาวอนค์ที่มากที่สุดเป็น 3.508 \AA ...	119-121
6-9	ทดสอบความยาวอนค์ระหัวงอะกอม P กับอะกอมชั่งเคียงทึ้งหนก 12 อะกอมเมื่อกำหนกให้ความยาวอนค์มากที่สุดเป็น 3.508 \AA .	123
6-10	ทดสอบความมรระหว่างอะกอมชั่งเคียงทึ้งหนกเมื่อกำหนกให้ความยาวอนค์ที่มากที่สุดเป็น 3.508 \AA .	123-124

รายการรูปประกอบ

บัญ		หน้า
2-1	แสดงทางเดินของรังสีเอกซ์ผ่านวัตถุที่มีเนื้อเกี่ยวกันตลอด	6
2-2	แสดงทางเดินรังสีเอกซ์ผ่านผลึกเกี่ยวเพื่อกำนวนแพคเตอร์การแพร่รังสี .	7
2-3	แสดงรูปเรขาคณิตเพื่อกำนวนแพกกาเรียกอกลืนรังสีเอกซ์ของผลึกเกี่ยว รูปทรงทั่วไป	9
2-4	แสดงรูปเรขาคณิตของการกำนวน π	12
3-1	แสดงการเปรียบเทียบระหว่างผลึกจริงกับผลึกจำลอง (ก) ผลึกจริง	
	(ข) ผลึกจำลอง	17
3-2	แสดงลักษณะการจัดตัวของผลึกเมื่อแกนหมุน c ถูกปรับให้ตั้งฉากกับ ลารังสีเอกซ์ ...	18
3-3	(ก) แสดงเรขาคณิตของการถ่ายภาพแบบไวชเช็นเบิร์ก (ข) แสดงภาพถ่ายแบบไวชเช็นเบิร์กที่เลย์เออร์ที่ 0 ที่สอดคล้อง กับรูป (ก) ...	19
3-4	แสดงการจัดตัวของผลึกที่คิดตั้งบนกล้องและทิศทางของแกน a, b และ c .	20
3-5	แสดงระนาบ xyz ในหนึ่งหน่วยเชลล์ของผลึก ...	21
3-6	(ก) แสดงทิศทางและการจัดแกน a, b และ c ในผลึกจำลอง (ข) ภาพขยายบางส่วนของรูป (ก) เพื่อกำนวนภานุคัณนิมิตเลอร์ ของระนาบ ...	23
4-1	การสะท้อนของรังสีเอกซ์ที่ทำให้เกิด เอกซ์ทิงค์ชัน ปฐมภูมิ ...	27
4-2	(ก) รังสีเอกซ์ที่กระแทกกับระนาบการสะท้อนแล้วเลี้ยวเบนไปที่จุดหนึ่ง (ข) มองรูป (ก) ในระนาบของ OMP	
	(ค) แสดงรายละเอียดทางค้านชัยมีของรูป (ข) ...	29
4-3	แสดงเฟรสเนิลโซนที่ 1 และ 2 บนระนาบการสะท้อน ...	30

ญบ

หน้า

4-4	แผนผังแสดงผลลัพธ์ของอุปน ที่กระเจิงจากโซนบอยของเฟรสนิลโซน ที่ 1 เมื่อเฟสคงเดิมและเมื่อเฟสเปลี่ยนไป	32
4-5	(ก) รังสีเอกซ์ทักรอบบนระนาบการสั่นโภคเคมหัวมุม θ กับ ระนาบการสั่นหอน	
	(ข) มองญูป (ก) ในระนาบ OMP	
	(ค) แสดงสมมติของ การสั่นหอนเทียบกับระนาบการสั่นหอน	33
4-6	แสดงรังสีเอกซ์ทักรอบและเลี้ยวเบนบนระนาบอะ拓น	35
4-7	แสดงการเลี้ยวเบนของรังสีเอกซ์จากผลลัพธ์สมมูรพ	39
4-8	แสดงการเลี้ยวเบนของรังสีเอกซ์จากผลลัพธ์สมมูรพที่มุนการสั่นหอน θ และมุนช้างเคียง $\theta_0 + \alpha$	40
4-9	แสดงการเลี้ยวเบนของรังสีเอกซ์จากผลลัพธ์สมมูรพที่ประกอบด้วยระนาบ อะ拓น p ระนาบไปยังจุด Q	42
4-10	แสดง มัลติเพลิ รีเฟลกชันของรังสีเอกซ์จากผลลัพธ์สมมูรพ	44
4-11	การเลี้ยวเบนของรังสีเอกซ์จากผลลัพธ์โนเมเซอิกที่มีผิวน้ำแยกว่าง ...	50
4-12	การเลี้ยวเบนของรังสีเอกซ์จากกล่องอันหนึ่งที่อยู่ภายใต้ผลลัพธ์โนเมเซอิก .	52
5-1	ญูปทรงผลลัพธ์เดียวของสารประกอบ $Ta_5Ni_4P_4$	59
5-2	แสดงวิธีการถ่ายภาพเพื่อปรับแกนหมุนของผลลัพธ์ให้อาร์คหัวมุม 45 องศากับล่ารังสีเอกซ์ที่ออกจากแหล่งกำเนิด	
	(ก) แสดงการจัดอาร์ค	
	(ข) แสดงจุดสั่นบนพื้น R และ \bar{R} ที่สอดคล้องกับ A และ \bar{A} ตามลำดับ	60
5-3	แสดงภาพถ่ายเมื่อถ่ายแบบให้อาร์คหัวมุม 45 องศากับล่ารังสีเอกซ์เพื่อ ปรับแกนหมุนของผลลัพธ์	
	(ก) ถ่ายครั้งแรก	
	(ข) ถ่ายครั้งที่สองหลังจากปรับอาร์คหัวมุมที่คำนวณไว้จากภาพ (ก)	

	ครั้งนี้ถ่ายวิชีเคมแท้ใช้กับเบลอกอสซิลเดเชิน	
(ค)	ถ่ายครั้งที่สามหลังจากปรับอารควยค่ามุนที่ค่านวนให้จากภาพ(ข)	
	ครั้งนี้ถ่ายเหมือนภาพ(ข)	63
5-4	ภาพถ่ายของซิลเดเชินรอบแกน c ในช่วงมุม ± 110 องศา ใช้รังสีเอ็กซ์ของ Mo ชนิด K_{α} เวลาในการถ่ายภาพ 16 ชั่วโมง	65
5-5	(ก) ภาพถ่ายแบบไวซเซ็นเบิร์กสำหรับเลย์เออร์ที่ 0 ของผลึก $Ta_5Ni_4P_4$ เมื่อให้ผลึกหมุนรอบแกน c โดยใช้รังสีเอ็กซ์ของ Mo ชนิด K_{α} จุดสะท้อนที่ปรากฏกฎสอดคล้องกับเงื่อนไข $h + k = 2n$	67
	(ข) ภาพถ่ายแบบไวซเซ็นเบิร์กสำหรับเลย์เออร์ที่ 1 ของผลึก $Ta_5Ni_4P_4$ เมื่อให้ผลึกหมุนรอบแกน c โดยใช้รังสีเอ็กซ์ของ Mo ชนิด K_{α} จุดสะท้อนที่ปรากฏกฎสอดคล้องกับเงื่อนไข $h + k = 2n + 1$	68
5-6	ภาพถ่ายผลึกยง $Ta_5Ni_4P_4$ ถ่ายควย Guinier - Hägg focusing camera ใช้รังสีเอ็กซ์ชนิด $Cu K_{\alpha 1}$ ($\lambda = 1.54051 \text{ \AA}$)	70
5-7	(ก) แสดงໂຄອරີເນັກຂອງจຸດສະຫຼອນນາພດ້າຍໄວຟເຊັນເບົຣົກທີ່ຈຸດສ້າງຂຶ້ນໂຄຍໃໝ່ແນ່ແສກແນວໄວຟເຊັນເບົຣົກ ເລຍ່ເອຣ່ທີ່ 0	74
	(ข) ແສກໂຄອරີເນັກຂອງຈຸດສະຫຼອນນາພດ້າຍໄວຟເຊັນເບົຣົກທີ່ຈຸດສ້າງຂຶ້ນໂຄຍໃໝ່ແນ່ແສກແນວໄວຟເຊັນເບົຣົກ ເລຍ່ເອຣ່ທີ່ 1	75
5-8	ແລທິສ່ວນກັບຂອງ $Ta_5Ni_4P_4$	
	(ก) hko ເລຍ່ເອຣ່ທີ່ 0	
	(ข) hkl ເລຍ່ເອຣ່ທີ່ 1	76
5-9	(ก) ภาพถ่ายໄວຟເຊັນເບົຣົກເພື່ອຮັບຮັນຂໍ້ມູລຄວາມເຂັ້ມເນື້ອໃຫ້ຜົກມູນຮົນແກນ c ສຳຮັບເລຍ່ເອຣ່ທີ່ 0 ของຜົກ $Ta_5Ni_4P_4$	79
	(ข) ภาพถ่ายໄວຟເຊັນເບົຣົກເພື່ອຮັບຮັນຂໍ້ມູລຄວາມເຂັ້ມເນື້ອໃຫ້ຜົກມູນຮົນແກນ c ສຳຮັບເລຍ່ເອຣ່ທີ່ 1 ของຜົກ $Ta_5Ni_4P_4$	80
5-10	(ก) ขนาดຜົກຈໍາລອງທີ່ໃຊ້ໃນການກໍານົມແກ້ກາງຈຸດກົດ	
	(ข) ທີ່ສັຫງແລະຕ່າແໜ່ງຂອງແກນຜົກໃນຜົກຈໍາລອງ	82

บัญชี

หน้า

5-11	ขนาดและรูปร่างของผลึกจำลองใหม่ที่ใช้ในการคำนวณแฟคเตอร์การแพรวงสี ...	84
5-11	แผนภาพแพทเทอร์ลัน $P(u, v, 0)$ ของ $Ta_5Ni_4P_4$	89
5-12	(ก) แผนภาพความหนาแน่นอิเลคตรอนของ $Ta_5Ni_4P_4$ ที่ $z = 0$ ใช้เพสของแฟคเตอร์โครงสร้างที่ได้จากการคำนวณ Ta 10 อะตอม .	92
	(ข) แผนภาพความหนาแน่นอิเลคตรอนของ $Ta_5Ni_4P_4$ บนระนาบที่ $z = 0$ เนพาระบบเรเดียมคำนวณอะตอม $Ta(I)$	93
	(ค) แผนภาพความหนาแน่นอิเลคตรอนของ $Ta_5Ni_4P_4$ บนระนาบที่ $z = 0$ เนพาระบบเรเดียมที่เป็นคำนวณอะตอม Ni	93
	(ง) แผนภาพความหนาแน่นอิเลคตรอนของ $Ta_5Ni_4P_4$ บนระนาบที่ $z = 0$ เนพาระบบเรเดียมที่เป็นคำนวณอะตอม P	94
5-13	แสดงความหนาแน่นอิเลคตรอนทรงบิเวณคำนวณอะตอม ...	95
5-14	กราฟแสดงความลับพันธุ์ระหว่าง $(F_c _{hkl} / F_o _{hkl})^4$ กับ $ F_c ^2_{hkl} \cdot T_{hkl}$ เพื่อพิจารณาคำสั่งประสาทที่อิเล็กซิทิกซัน ...	101
6-1	แสดงคำนวณอะตอมของผลึก $Ta_5Ni_4P_4$ ภายใน 4 หน่วยเซลล์เมื่อ ขยายลงไปตามแกน z	109
6-2	แสดงอะตอมชั้งเคียงของอะตอม $Ta(I)$ ของผลึก $Ta_5Ni_4P_4$...	110
6-3	แสดงอะตอมชั้งเคียงของอะตอม $Ta(II)$ ของผลึก $Ta_5Ni_4P_4$...	115
6-4	แสดงอะตอมชั้งเคียงของอะตอม Ni ของผลึก $Ta_5Ni_4P_4$...	118
6-5	แสดงอะตอมชั้งเคียงของอะตอม P ของผลึก $Ta_5Ni_4P_4$...	122
6-6	โครงสร้างของผลึก P_3Si_2 เมื่อขยายลงตามแกน z	125
6-7	แสดงระนาบร่วงແղภายใน 4 หน่วยเซลล์เมื่อขยายลงตามแกน z เนพาระบบที่ $z = 0$ ของผลึก $Ta_5Ni_4P_4$	126